

## II-52 急縮部の河床変動について

正員 徳島大学工学部  
准員 一  
正員

○湯浅博明  
大学院 岩佐徳治  
工博 松尾信三郎

**1. 概説。** 自然河川において流れが急に狭まることで河床が洗掘され、流れやすくなるように変動していくことは経験的によく知られています。縮小部、河床が洗掘され変動していく過程については多くの学者が研究されています。芦田博士、宮西博士などこれについて興味ある研究を発表しています。さて急縮部では何がどう変わるか、吸い込み、流れの形状とでは流れの状態が異なり、従って河床変動の状況も異なります。河中の砂の動きや砂の沈没、立れぼほとんどの河床の振れ方も異なる。このように自然には現象をつかむことは、なかなかもつていかないように思われる。従って芦田博士の行なった急縮部における水路の構造に注目してこれを急縮部にも適用し、急縮水路でも水路の各部分に有効でない部分を除いたものとすれば、その有効でない部分を除いた水路中を依然として有効水路中とし、このようにして得られたものと考えた。ここでは先づ実験結果を参考として有効水路中を仮定し、この水路中で砂を用いて一定流量を流したときの河床変動の状況を岩垣博士の提案した特徴的解法を用いて計算し、計算結果と比較検討した。

**2. 実験設備および方法。** 図-1に示すように長さ  $7m$ 、中  $0.5m$ 、底面勾配  $1/10$  の合成樹脂板製水路の下流を  $0.2cm$  にせばめ、その下流端にひし形せきを設けて平均粒径  $0.9mm$  の砂を平らに敷き均し、上流から一定流量を流したときの水面形と砂面形の時間的変化を写真撮影により測定した。

**3. 有効中。** 流れの掃流力によって河床が洗掘が行なう、河床のすべての点において限界掃流状態にならざりとも、流れの方向にスル軸をとれば、運動方程式、連続方程式、抵抗法則の各式はつきのようになる。

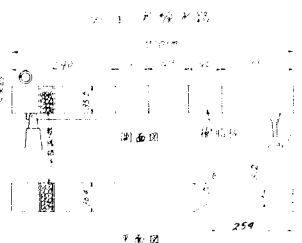
$$\frac{\partial h}{\partial x} + \frac{2}{g} \left( \frac{U^2}{g} \right) = c - \frac{C}{f R} = c - \frac{U_*^2}{f R} \quad (1)$$

$$Q = RBV \quad (2)$$

$$V = \frac{1}{n} R^{2/3} I_c^{1/2} \quad (3)$$

ここに、  $h$ : 水深、  $R$ : 径深、  $V$ : 平均流速、  $c$ : 砂面勾配、  $I_c$ : 底面の単位勾配、  $C$ : 砂面の掃流力、  $Q$ : 流量、  $n$ : Manning の粗度係数、  $U_* = \sqrt{g} h$ 、  $I_c = c - \ln \left( 1 + \frac{R}{h} \right)$  である。  
(1), (2), (3) 式より  $U_* = \sqrt{g} n \frac{Q}{R^{2/3} B h}$  をうる。いま河床を構成する砂の粒度を一律とし、先端が常に砂面上の掃流力ではすべての点において同じにならざりとも、たゞ場合、位置の  $a$  断面  $a$ ,  $b$  における  $h_a$ ,  $h_b$  の値を  $U_*^a$ ,  $U_*^b$  とすれば

$$\frac{U_*^b}{U_*^a} = \frac{\sqrt{g} n_b \frac{Q}{R_b^{2/3} B_b h_b}}{\sqrt{g} n_a \frac{Q}{R_a^{2/3} B_a h_a}} = 1 \quad \therefore \quad \frac{h_b}{h_a} = \left( \frac{R_a}{R_b} \right)^{2/3} \frac{B_a}{B_b} \quad (4)$$



となり、限界掃流水深比は水路中の比によって表わされる。従つて局部的に深く洗掘される部分では水の流れが集中して実質の水路中は小さくなるものと考え、実験から求めた実測水深を式に代入して有効水路を推定し、モデル水路中を求める特性曲線法によって河床の変動状況の計算を行なった。

4. 理論および計算結果。河床変動を計算するため流水に関する運動、連続、砂に関する運動、運動方程式および砂と砂と摩擦から抵抗法則および流砂量の式を用いて岩垣博士の方法によつて解けます。

$$\frac{\partial h}{\partial t} + A'B' \frac{\partial h}{\partial x} = A' [C' \frac{d\theta}{dx} - B' f \frac{\partial^2 d}{\partial x^2} (\frac{1}{h}) + \frac{Q^2 Q^2}{A'R^3 S}] \quad (5)$$

特性曲線表示によれば

$$\frac{dx}{dt} = A'C' = 600c \quad \frac{dh}{dt} = A' [C' \frac{d\theta}{dx} - B' f \frac{\partial^2 d}{\partial x^2} (\frac{1}{h}) + \frac{Q^2 Q^2}{A'R^3 S}] \quad (6)$$

$$= C', \quad A' = \frac{58h^2}{(1+\lambda)(R_s R)^2}, \quad B' = 35B^2 + 600h, \quad C' = 58h^2 + 24h$$

式(6)より計算上の結果、および実験結果は図2, 3, 4, 5を示す。

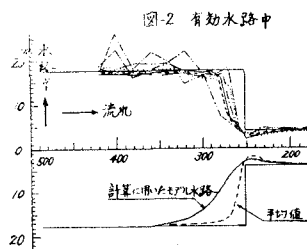


図-2 有効水路中

図-4 粗度による損失水頭-時間曲線

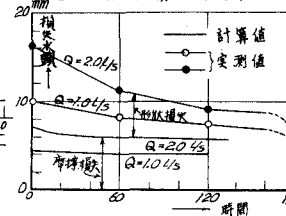
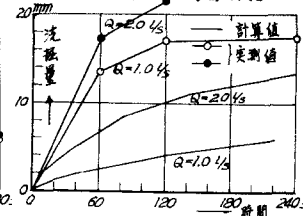


図-5 摩擦部洗掘-時間曲線



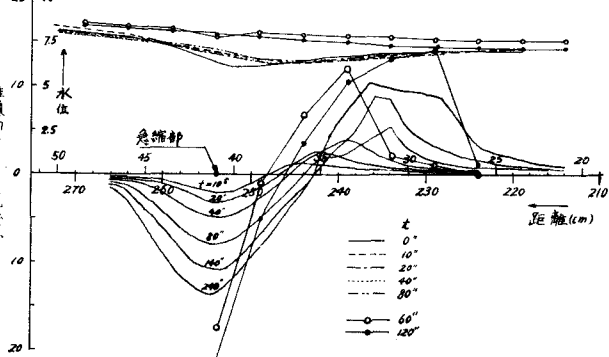
### 5. 結論 (1) 計算結果

- 最大洗掘位置は急縮部において、洗掘深さは時間とともに増大するが、河床谷は小さくなる。
- 水面形は次第にまろやかになる。
- 摩擦損失は河床がなり実質河床変化量は小さい。
- 最大堆積高は河床がなり実質河床変化量は大きい。

### (2) 実験結果

- 不流速れひひの摩擦損失はあまり変化しないが、摩擦係数が主として小さくなると思われる。
- 有効水路中の底質が変化してもあまり変わらないようである。
- 洗掘深さ、堆積高は計算結果とかなり異なる。

図-3 水面・河床変動曲線



左の二つの研究は計算ならびに住友建設技術和田脩氏の助力をうけて行なわれた。また二の研究は試験研究室「河川冲積部における河床と堤体の安定」(河川防災工学的研究会)の一部となるもので、文部省科学研究費の支給を受けてこどもして関係各位に謝意を表します。

### 参考文献

- 杉尾捨三郎、猪瀬博明：水路急縮部の洗掘現象について；第17回土木学会年次学術講演会概要，昭37.5。
- 芦田和男：河床変動部における河床変動に関する研究；京都大学防災研究所年報，第6号，昭38.7。
- 室田明、猪瀬博：流積急縮部の河床の局所変動について(第1報)，第17回土木学会年次学術講演会概要，昭37.5。
- 芦田和男：浦木路側面急縮部の水理と河床変動に関する研究；京都大学防災研究所年報第5号A，昭37.5。
- Y. Iwagaki : On the Analysis of Mechanism of River-Bed Variation by Characteristics; Mem. of Fac. of Eng., Kyoto Univ., (July 1956) 163~171.